

การปรับปรุงดินเหนียวด้วยของเสียจากอุตสาหกรรม

Improvement of Clay Soil with Industrial Wastes

คณูพhol ตันน้อยภาส และ ทวีศักดิ์ ฉินปากพนัง

Danupon Tonnayops¹ and Thawisak Thinpakphanang

คณะวิศวกรรมศาสตร์ มหาวิทยาลัยสงขลานครินทร์ ตำบลคลองหงส์ อ่าเภอหาดใหญ่ จังหวัดสงขลา 90110

Faculty of Engineering, Prince of Songkla University

Kho Hong, Hat Yai, Songkhla, 90110, Thailand

E-mail: ¹danupon.t@psu.ac.th, Telephone and Fax. 074-558834

บทคัดย่อ

การศึกษานี้เพื่อทำความเข้าใจถึงผลกระทบของถ่านแกกลบสังข์หยด เถ้าไม้ข้างพาราและขิปซัมเทียมที่มีต่อการปรับปรุงคุณภาพด้วยดินเก็บจากฐานรากสร่าวيان้ำ ในมหาวิทยาลัยสงขลานครินทร์ (ม.อ.) ปริมาณน้ำที่เหมาะสมของการบดอัดดีสุด ได้จากการทดสอบแบบบดอัดมาตรฐาน เติมถ่านแกกลบสังข์หยดร้อยละ 5 และ 10 เถ้าไม้ข้างพาราร้อยละ 5 10 และ 15 ขิปซัมเทียมร้อยละ 25 ผสมในด้วยดิน ม.อ. ที่เติมปริมาณน้ำไปจากที่เหมาะสมสามอัตราส่วนที่ 0.50, 0.55 และ 0.60 ทดสอบพิกัดแอตเตอร์เบิร์ก ความหนาแน่นรวม ความแข็งแบบชอร์ ความทนน้ำ และกำลังอัด หลังจากบ่มในบรรยายความคุณ 1 7 และ 28 วัน ผลการทดสอบบ่งชี้ว่า ถ่านแกกลบสังข์หยด เถ้าไม้ข้างพาราและขิปซัมเทียมได้เพิ่มกำลังอัด และทนการละลายน้ำแก่ดินเหนียว ม.อ. อย่างมีนัยสำคัญ ผลวิเคราะห์ด้วยการเลี้ยวเบนรังสีเอกซ์และกล้องจุลทรรศน์ ยิ่งดีต่ออนแบบส่อง粒ของดินที่ปรับปรุง กลไกของการปรับปรุงดินเหนียว ม.อ. ด้วยของเสียจากอุตสาหกรรมเหล่านี้เป็นปฏิริยาไซเดรชัน

ABSTRACT

This study is carried out to understand the effects of Sung Yod rice husk ash (SYRHA), rubber wood fly ash (RWFA) and flue gas desulphurization gypsum (FGD) on the stabilization of clay soil (CS) sample collecting from swimming pool foundation in Prince of Songkla University (PSU). Optimum moisture content (OMC) for the best compaction of the PSU soil was determined by standard compaction tests. Different quantities of 5 and 10wt.%SYRHA, 5, 10 and 15wt.%RWFA and 25wt.%FGD were added to PSU-CS samples with three ratios of water plus OMC at 0.50, 0.55 and 0.60. Laboratory tests on Atterberg limits, bulk density, Shore hardness, water stability and unconfined compressive strengths were performed on untreated and treated PSU samples, after curing period of 1, 7 and 28 days. The test results indicated that SYRHA+RWFA+FGD can significantly increase the unconfined compressive strength and water stability of PSU-CS sample. Based on the X-ray diffraction and scanning electron microscopy analysis of the stabilized soil, the stabilization mechanisms of these industrial waste stabilizers were hydrated in the PSU-CS sample.

1. บทนำ

ดินเป็นวัสดุก่อสร้างพื้นฐาน ช่วยรองรับโครงสร้าง ได้คุณของโครงสร้างประเภท และคุณลักษณะ ซึ่งรองรับรองพื้นทางและชั้นพื้นทางของผู้สำรวจ คุณเดิมบาง

แห่งอาจไม่เหมาะสมสำหรับการก่อสร้าง เนื่องจากความสามารถในการรับแรงแบกท่าน (bearing capacity) ต่ำและความสามารถอัดตัวได้ (compressibility) สูงหรือแม้ในบางครั้งการรบรวม

(swelling) เกิน เช่น กรณีดินที่ขยายตัว ในช่วงสองทศวรรษที่ผ่านมา มหาวิทยาลัยสงขลานครินทร์ (ม.อ.) วิทยาเขตหาดใหญ่ ได้มีการปลูกสร้างอาคารหลายหลังของคณะตั้งขึ้นใหม่ รวมทั้งอาคารต่อเติมและเกี่ยวกับข้อง โดยเฉพาะในช่วงเดรีบความพร้อมเป็นเจ้าภาพจัดการแข่งขันกีฬามหาวิทยาลัยแห่งชาติ ครั้งที่ 39 ภายใน ม.อ. ได้ทำการปรับปรุงและมีการก่อสร้างสถานที่จัดการแข่งขันกีฬา ไม่ว่าจะเป็นอาคารกีฬา 速率ว่าขัน (รูปที่ 1 ก) ได้มีการเปิดหน้าดินบุคคลถึง 4-6 เมตร (รูปที่ 1 ข) จึงมีดินจำนวนมากที่ต้องบุคคลออกไป ย้อนมาดูงานวิจัยที่ผ่านมา เรื่องสมบัติดินทางธรณีเทคนิคในพื้นที่ ม.อ. วิทยาเขตหาดใหญ่มีน้อย ดังนั้นจึงถือโอกาสสนับสนุนดังกล่าวมาศึกษาคุณภาพของดินฐานรากระดับดินของพื้นที่ก่อสร้าง ดังกล่าว นอกจากนี้ยังใช้เป็นตัวแทนดินของบริเวณก่อสร้างในวิทยาเขตอื่นหรือสถานที่อื่นที่มีสมบัติในทำนองเดียวกัน การปรับปรุงดินแก่สถานที่ก่อสร้างขาดเสียมิได้ เนื่องจากราคาน้ำดินสูงขึ้น และอุปสงค์มากภายใน การก่อสร้างที่เพิ่มขึ้น จึงต้องคำนึงถึงสมบัติของดินที่ปรับปรุงเสถียรภาพ โดยค่าใช้จ่ายครอบดำเนินงานควรราคาย่อมเยา ทำนองเดียวกับการนำบดของเสียงจากอุตสาหกรรม ซึ่งของเสียงจากอุตสาหกรรมที่สามารถนำมาใช้ปรับปรุงสมบัติทางธรณีเทคนิคของดิน ได้แก่ เส้าแกลง [1, 2, 3] เส้าดอย [4, 5, 6, 7] เส้าปาล์มน้ำมัน [8] เส้าไม้ย่างพารา [3, 8] ผุ่นเม็ดปูน [9, 10] และยิปซัมเทียม [11, 12] เป็นต้น



รูปที่ 1 ก) ฐานรากสาระว่าญี่ปุ่นไปในดินที่ศึกษา และ
ข) ลักษณะหน้าตัดของชั้นดินที่เก็บมาเป็นวัตถุดินที่ใช้
ศึกษา

2. อุปกรณ์และวิธีการ

2.1 วัสดุที่ใช้ในการทดลอง

ตัวอย่างคืนที่ศึกษาได้จากคืนฐานรากที่ความลึก 4-5 เมตร บริเวณระหว่างน้ำและอาคารกีฬา ม.อ. วิทยาเขต หาดใหญ่ ในลักษณะเสี้ยสภาพ (disturbed sample) พบให้แห้งที่อุณหภูมิ 100 องศาเซลเซียส ทำการบดให้ละเอียด คัดขนาดเล็กกว่า 200 เมชหรือ 75 ไมครอน (รูปที่ 2 ก) วัสดุปรับปรุงดินประกอบด้วย เถ้าแกลงสังข์หยด (SYRHA) จากโรงสีข้าววิสาหกิจชุมชนสังข์หยด จังหวัด พัทลุง (รูปที่ 2 ข) เถ้าดอยไม้ยางพารา (RWFA) เป็นของเสี้ยที่ได้จากเชื้อเพลิงของโรงงานผลิตถุงมือยาง จังหวัด สงขลา (รูปที่ 2 ค) ยิปซัมเทียม (FGD) เกิดจากกระบวนการดักจับก๊าซชัลเฟอร์ไดออกไซด์ (รูปที่ 2 ง) ของโรงไฟฟ้ากระเบนี่ อำเภอทองทอม จังหวัดกระเบนี่



รูปที่ 2 วัตถุคิดที่ใช้ศึกษาครั้งนี้ ก) ตัวอย่างคิน ข) เถ้า
แกลบสังข์heyd ค) เถ้าอยู่ไม่ย่างพารา และ ง) ยิปซัมทีบ่ม

2.2. การเตรียมตัวอย่าง

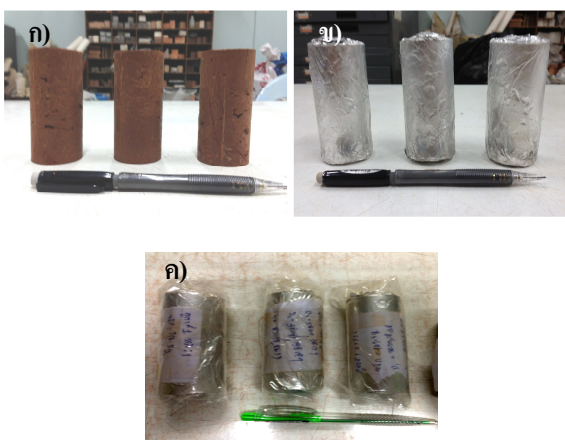
ขีปซัมเที่ยมอนที่อุณหภูมิ 115 ± 5 องศาเซลเซียส เป็นเวลา 24 ชม. ให้สลายเป็นปูนขาว (hydrated lime) บดละเอียดด้วยเครื่องบดปักกรวย (Gyratory) เป็นเวลา 1.30 ชั่วโมง และเครื่องบดลูกบลอกระยะแทรก (Ball mill) อีกประมาณ 30 นาที ตัดขนาดเล็กกว่า 45 ไมครอน อัตราส่วนผสมของดินที่ปรับปรุงเสถียรภาพกำหนดไว้ 3 สูตร แสดงไว้ในตารางที่ 1 ตัวอย่างดินขี้นรูปเป็นแท่ง

ทรงกระบอกด้วยกระบอกทรงทุ่งขนาดเล็ก (Mini procter) วิธีกระทุ่งแบบปรับปรุง มีเส้นผ่าศูนย์กลาง 3.85 เซนติเมตร สูง 8.50 เซนติเมตร (รูปที่ 3 ก) ผสม泥ใน

ตารางที่ 1 องค์ประกอบทางเคมีของบรรดาวัสดุที่ใช้ในการทดลอง

สัญลักษณ์	ปริมาณ (%)			
	ดิน	SYRHA	RWFA	FGD
CRWG1	55	0	20	25
CRWG2	55	5	15	25
CRWG3	55	10	10	25

ส่วนผสมตัวอย่างสูงจากปริมาณน้ำที่เหมาะสม (OMC) เป็นร้อยละ 50.55 และ 60 น้ำที่เกินไปช่วยในการทำปฏิกิริยาไฮเดรชันระหว่างอิปซัมเทียมกับตัวอย่างดินและเกิดปฏิกิริยาปอซโซลานกับถ่านแกลบสังข์หยด สังเกตว่ามีความร้อนเกิดขึ้นสูงถึงประมาณ 30 องศาเซลเซียส ซึ่งพบ เช่นเดียวกันในงานวิจัยของ Bourjan et al. [11] และ Chimhee et al. [12] ซึ่งตัวอย่างดินทั้งหมดเก็บรักษาโดยการห่อด้วยพลาสติกใสและกระดาษแผ่นตะกั่ว (รูปที่ 3 ข) ก่อนหุ้มด้วยถุงพลาสติก (รูปที่ 3 ค) และเก็บไว้ในลังโฟมที่มีน้ำหล่อเลี้ยงตลอด เป็นเวลา 17 และ 28 วัน



รูปที่ 3 ก) ตัวอย่าง ข) ห่อด้วยกระดาษแผ่นตะกั่ว และ ค) ถุงพลาสติกหุ้มตัวอย่างนอกสุด

2.3 การทดสอบตัวอย่าง

วัดการกระจายขนาดของดินด้วยเครื่องวัดอนุภาคด้วยแสงเลเซอร์ และจำแนกชนิดดินด้วยการทดสอบพิกัดแอตเตอร์เบิร์ก (Atterberg limits test) ตามวิธี ASTM D4318 ปริมาณน้ำที่เหมาะสมของตัวอย่างดินทดสอบตามวิธี ASTM D698 [13] ทดสอบความแข็งแบบชอร์ (Shore hardness) ด้วยเครื่อง Hardness Tester (EQUO TIP) รุ่น CA 6525 กำลังอัดแกนเดียวตาม ASTM D2166 [14] ทดสอบการฉะละลายของดินตามมาตรฐานกรมทางหลวง พื้นทางดินซีเมนต์ [15] ค่าเฉลี่ยของตัวอย่าง 3 ก้อน

2.4 องค์ประกอบทางเคมีของวัตถุนิรภัย

วัตถุนิรภัยทั้งหมดผ่านการวิเคราะห์องค์ประกอบทางเคมีด้วยวิธีการวิวัฒน์เรืองแสงเชิงรังสีเอกซ์ (X-ray fluorescence-XRF) ดินที่ใช้มี SiO_2 อยู่ร้อยละ 43.88 ส่วนถ่านแกลบสังข์หยดมีปริมาณ $\text{SiO}_2 + \text{Al}_2\text{O}_3 + \text{Fe}_2\text{O}_3$ รวมกันได้ร้อยละ 74.7 เทียบตาม ASTM C618 พบว่าจดอยู่ในระดับประเภท F (ตารางที่ 2) ส่วนถ่านไม้ข้างพาราและอิปซัมเทียมมี CaO สูงถึงร้อยละ 43.14 และ 70.43 ตามลำดับ ทำนองเดียวกับปูนซีเมนต์ปอร์ตแลนด์ ประเภท 1

ตารางที่ 2 องค์ประกอบทางเคมีของบรรดาวัสดุที่ใช้ในการทดลอง

องค์ประกอบทางเคมี	ปริมาณ (%)			
	ดิน	SYRHA	RWFA	FGD
CaO	0.37	1.94	43.14	70.43
SiO_2	43.88	66.13	3.29	14.41
Al_2O_3	24.92	5.48	0.33	2.66
Fe_2O_3	19.73	3.23	0.59	3.63
MgO	-	1.68	3.82	1.38
P_2O_5	-	8.35	2.53	-
MnO	0.14	0.61	-	-
SO_3	-	0.92	1.02	3.78
K_2O	1.92	8.35	20.12	0.97
MnO_2	-	-	1.35	-

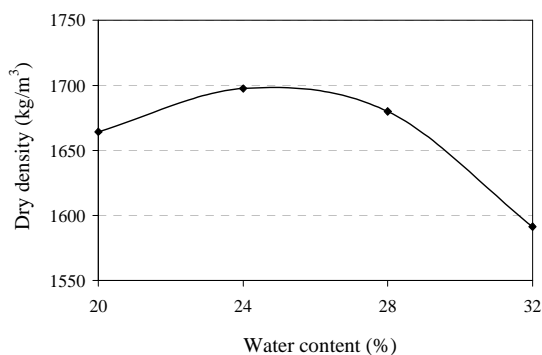
ตารางที่ 2 (ต่อ) องค์ประกอบทางเคมีของบรรดาวัสดุที่ใช้ในการทดลอง

องค์ประกอบ ทางเคมี	ปริมาณ (%)			
	ดิน	SYRHA	RWFA	FGD
TiO ₂	1.22	0.80	-	0.22
LOI	7.76	2.51	23.74	2.44

3. ผลการวิจัยและอภิปรายผล

3.1 การจำแนกและสมบูติดัชนีของดิน

ปัจจุบันนี้ห้องดินได้ค่าพิกัดเหลว (LL) เท่ากับร้อยละ 46.33 จัดเป็นดินเหนียวในเกอโอลีไนต์ (Kaolinite) และค่าพิกัดพลาสติก (PL) ร้อยละ 23.47 ซึ่งค่าดัชนีพลาสติก (PI) ร้อยละ 22.86 เมื่อเทียบกับแผนภาพระบบการจำแนกดินเอกสาร จัดอยู่ในดินประเภท CL และปริมาณน้ำหนาแน่นสูงคือร้อยละ 24 (รูปที่ 4) กำลังอัดของดิน (Unconfined compressive strength) 4.34 กิโลกรัมต่อตารางเมตร

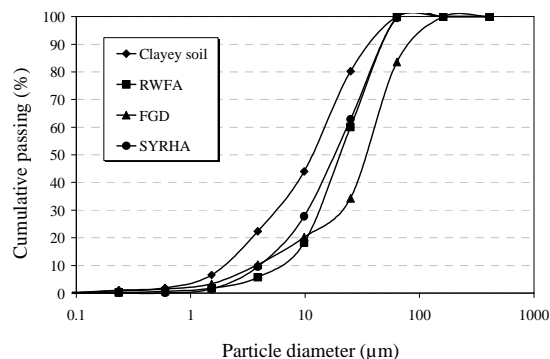


รูปที่ 4 ปริมาณน้ำที่เหมาะสมของตัวอย่างดินทดสอบ

3.2 การกระจายขนาดของวัสดุที่ใช้

วัสดุที่ใช้หลังผ่านการคัดขนาดพบว่ามีการคละขนาด
ก่อนข้างดี (รูปที่ 5) ตัวอย่างคินกระจาดตัวในช่วง 0.04-
76.43 ไมครอน เนลลี่ (d_{50}) 12.65 ไมครอน เล้าเกลนสังข์
หยดกระจาดตัวในช่วง 0.04-83.90 ไมครอน เนลลี่ 14.89
ไมครอน เล้าไม้ย่างพารากระจาดตัวในช่วง 0.04-83.90
ไมครอน เนลลี่ 12.96 ไมครอน และขิปซัมเทียมกระจาดตัว
ในช่วง 0.04-121.8 ไมครอน เนลลี่ 24.69 ไมครอน และการ

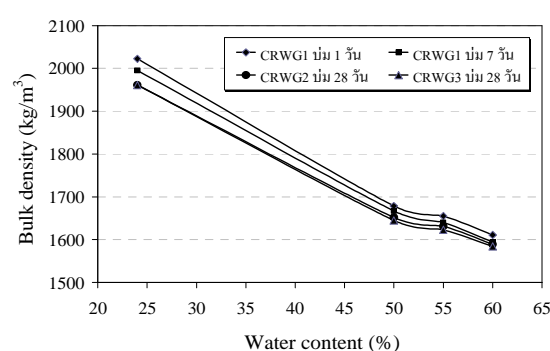
คัดขนาดของตัวอย่างดินมีค่า ส.ป.ส. ความสม่ำเสมอ
(uniformity coefficient- C_u) เท่ากับ 8.5 และ ส.ป.ส.
ของขนาดคละ (gradation coefficient - C_z) เท่ากับ 0.66
ซึ่งจัดเป็นดินที่ได้ส่วนขนาดคละดี (well-graded soil)



รูปที่ 5 การกระจายขนาดของวัสดุที่ใช้ปรับปรุงเสถียรภาพ

3.3 ความหนาแน่นรวม

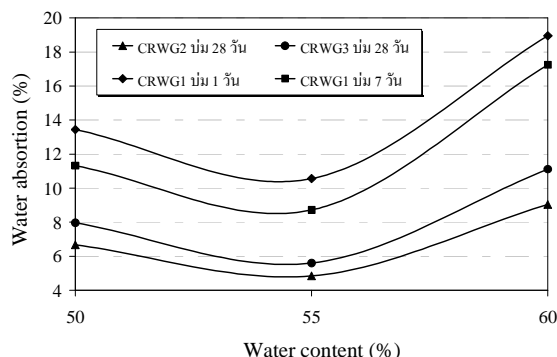
ตัวอย่างคินพสมถ้าเก็บลังขึ้นหยอด เก้าไม้ย่างพารา
และบีปชัมเทียม ที่สูตรคิน CRWG3 บ่ม 28 วัน มีค่าความ
หนาแน่นรวมต่ำสุด 1,584 กิโลกรัมต่อลูกบาศก์เมตร และ
ที่ตัวอย่างคินบ่ม 1 วัน มีค่าสูงสุด 2,022 กิโลกรัมต่อลูกบาศก์เมตร
ในขณะที่ปริมาณน้ำที่เดิมเพิ่มจากปริมาณ
น้ำที่เหมาะสม (ร้อยละ 24) เป็นร้อยละ 50 55 และ 60 ของ
ตัวอย่างคินแต่ละสูตร มีผลทำให้ค่าความหนาแน่นรวมมี
ค่าลดลงตามลำดับ (รูปที่ 6)



รูปที่ 6 ความหนาแน่นรวมของตัวอย่างคินที่ปรับปรุง เสถียรภาพ

3.4 การคุณชีมนำ

ตัวอย่างดินผสมถ้าแกลบสังข์หยด เถ้าไม้ข้างพารา และอิปซัมเทียม มีการคุณชีมน้ำลดลงได้แปรผันตามทั้ง อัตราส่วนถ้าแกลบสังข์หยด เถ้าไม้ข้างพาราและอิปซัม เทียมแทนที่และปริมาณน้ำที่เดิน อาชูบัน (รูปที่ 7) การคุณชีมน้ำน้อยลดลง โดยค่าการคุณชีมน้ำอยู่ที่สุดของดินสูตร ผสม CRWG2 ที่เดินน้ำร้อยละ 55 บ่ม 28 วัน และการคุณชีมน้ำมากที่สุดอยู่ที่สูตรผสม SCGW1 ที่เดินน้ำเป็นร้อยละ 60 บ่ม 1 วัน สังเกตว่าการคุณชีมน้ำที่อัตราส่วนเดินน้ำ เท่ากัน แต่ค่าผลกระทบกับค่าความหนาแน่นรวม (รูปที่ 6)



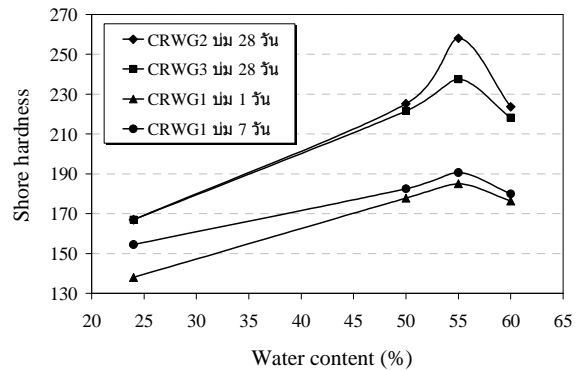
รูปที่ 7 การคุณชีมน้ำของตัวอย่างดินที่ปรับปรุงเสถียรภาพ

3.5 ความแข็งแบบชอร์

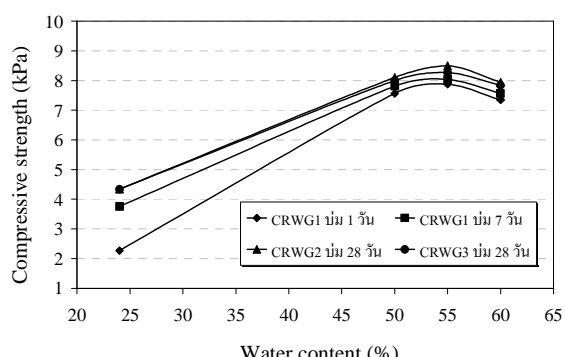
ความแข็งแบบชอร์ (Shore hardness) ของตัวอย่างดินที่ปรับปรุงเสถียรภาพมีแนวโน้มแปรผันตามอาชูบัน และที่สูตรผสม CRWG2 ที่ปริมาณน้ำที่เพิ่มเป็นร้อยละ 55 บ่ม 28 วัน มีค่าสูงสุด 258 และตัวอย่างดินที่ปริมาณน้ำเหมาะสม บ่ม 1 วัน มีค่าต่ำสุด 138 (รูปที่ 7) แสดงถึง กับค่าความหนาแน่นรวม ยกเว้นดินไม่ผสมตรงกันข้าม เนื่องจากเนื้อดินอ่อนนิ่ม ได้คุณชั้บแรงกดค่าจึงอ่อนกว่าได้ต่ำ

3.6 กำลังอัด

กำลังอัดของตัวอย่างดินผสมถ้าแกลบสังข์หยด เถ้าไม้ข้างพาราและอิปซัมเทียมมีแนวโน้มเพิ่มขึ้นแปรผันตามอาชูบัน ที่สูตร CRWG2 ที่ปริมาณน้ำร้อยละ 55 อาชูบัน 28 วัน มีค่ากำลังอัดสูงสุดเท่ากับ 8.5 กิโลกรัมสกัด และ ตัวอย่างดินเมื่อเดินปริมาณน้ำที่เหมาะสมร้อยละ 24 บ่ม 1 วัน มีค่าต่ำสุด เท่ากับ 2.27 กิโลกรัมสกัด (รูปที่ 9)



รูปที่ 8 ความแข็งแบบชอร์ของตัวอย่างดินที่ปรับปรุง



รูปที่ 9 กำลังอัดของตัวอย่างดินที่ปรับปรุงเสถียรภาพ

3.7 การฉะละลายของตัวอย่างดิน

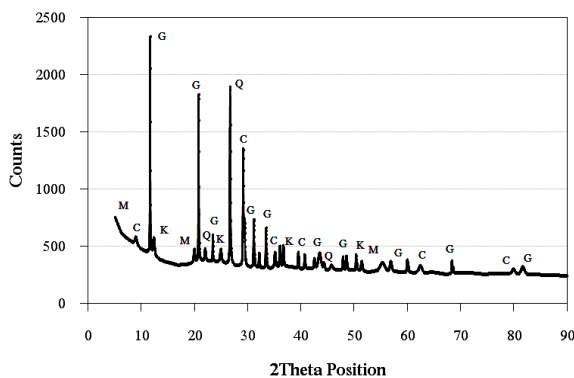
ผลการแช่ในน้ำเป็นเวลา 1 วัน เห็นได้ว่าชิ้นส่วน ก้อนตัวอย่างที่ไม่ปรับปรุงเสถียรภาพเกิดการฉะละลายเป็น ตะกอนเห็นได้ชัดเจน (รูปที่ 10 ก) ส่วนดินที่ผ่านการ ปรับปรุงฉะละลายเล็กน้อยจนถึงไม่ฉะละลาย (รูปที่ 10 ข) โดยเฉพาะสูตรที่เดินถ้าไม้ข้างพาราเพิ่มขึ้นการฉะละลาย น้ำลดลง อันเป็นผลจากการขึ้นก้นแน่นจับกันเป็นก้อนเนื้อ เดียวกันของปฏิกิริยาไฮดรัสันระหว่างถ้าไม้ข้างพารากับ ตัวอย่างดิน



รูปที่ 10 การฉะละลายของชิ้นตัวอย่างดิน (ก) ที่ไม่ ปรับปรุงเสถียรภาพ และ (ข) ที่ปรับปรุงเสถียรภาพ

3.8 ວິຊາການແຮ່ປະກອບຂຶ້ນໃໝ່

ກ້ອນຕ້ວອຍ່າງດິນປັບປຸງ CRGW2 ເຕີມນໍາຮ້ອຍລະ 55 ອາຫດນ່ມ 28 ວັນ ວິເຄຣະທີ່ແຮ່ປະກອບຂຶ້ນ (XRD) ຕຽບພບນີ້ແຮ່ 5 ຊົນດີ (ຮູບທີ່ 11) ແລະ ພົມຄໍານາມປົມາມແຮ່ວ່ອງແຕ່ລະໜົດອ່າຍ່າງຮ່າວ່າ ຈາກພື້ນທີ່ໄດ້ກາຟ XRD ດິດເປັນຮ້ອຍລະ ໄດ້ວ່າ ແຮ່ແຄລ ໄຊຕີ (CaCO₃-C) 6.96 ຂີປ້ຳນ (CaSO₄.2H₂O-G) 35.48 ຄວາຕີ (Quartz-Q) 21.46 ມັສ ໂຄ ໄວຕີ (Muscovite-M) 19.44 ເຄ ໂອລີ ໄນຕີ (Kaolinite-K) 16.65 ໂດຍເລີພາະແຮ່ທີ່ເກີດຂຶ້ນໃໝ່ມ່ນ່າເປັນແຮ່ແຄລ ໄຊຕີທີ່ເປັນພຸມາຈາກເຄົ້າໄຟ້ຢ່າງພາຣາ ແລະ ຂີປ້ຳນ ເຖິນທີ່ເກີດເຖິງຮູບກັບເປັນຂີປ້ຳນອີກຮັງ ອັນເນື່ອງຈາກມີປົມາມສາມປະກອບ CaO ທຳປຸງກີໂຍ້ກັນນໍາໄດ້ເປັນແຮ່ທັງສອງດັກລ່າວ ສ່ວນແຮ່ຄວາຕີໃນໂໂຮກໄຄໂຄນ໌ແລະ ເຄໂໂລລີໃນຕີເປັນແຮ່ທີ່ມີອູ້ຍຸດມີໃນດິນ ມ.ອ. ພລວິເຄຣະຄວັງນີ້ໄດ້ໃນທຳນອງເຕີຂວ່າກັບ ຈາກວິຈີ້ຂອງ Bourjan et al. [11] ແລະ Chimmee et al. [12] ທີ່ພວນວ່າເກີດມີປົມາມຂີປ້ຳນເປັນສ່ວນໃໝ່

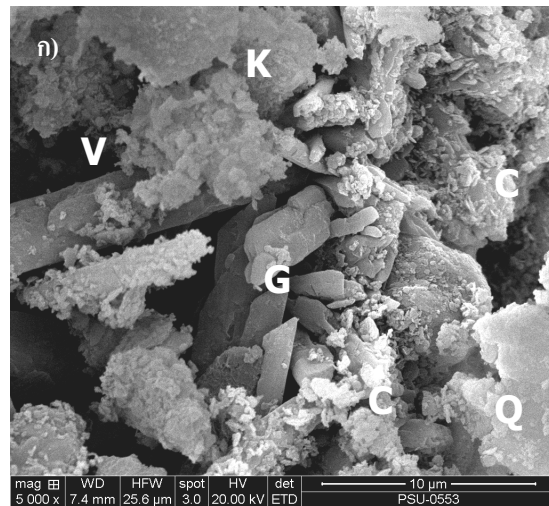


ຮູບທີ່ 11 ລາຍພິນພື້ນຂອງການເລີຍວິເບນຮັງສີເອກຫຼືຂອງຕ້ວອຍ່າງດິນທີ່ປັບປຸງສູຕັກ CRGW2 ນໍາຮ້ອຍລະ 55 ອ່ນ 28 ວັນ

3.9 ໂຄງສ້າງຈຸດການ

ຕ້ວອຍ່າງດິນຫຼຸດເຄີຍກັບວິເຄຣະທີ່ການເລີຍວິເບນຮັງສີເອກຫຼື ໄດ້ນຳນາມຕຽບ ໂຄງສ້າງຈຸດການ ພບວ່າເນື້ອດິນມີການພຽນ (V) ຊື່ກາຍໃນຫອກໂພຮນມີຜລິກຂີປ້ຳນ (G) ຊື່ເປັນຮູບແທກສື່ເໜີ່ຍົມປລາຍຕົດເຄືຍງ (ຮູບທີ່ 12) ສ່ວນແຮ່ແຄລ ໄຊຕີ (C) ຈອກເປັນທຽບພຸ່ມເຂັ້ມແທ່ງອອກມາອູ່ບັນແຜ່ນແຮ່ອື່ນ

ມັສ ໂຄ ໄວຕີ (M) ມອງເກີນເປັນແຜ່ນບາງ (ຮູບທີ່ 12 ທີ່) ສ່ວນຄວາຕີສີຂອບຄມ (Q)



ຮູບທີ່ 12 ກາພຄ່າຍຈຸດທຽບສ່ວນຄວາຕີສີຂອບຄມ ດິນທີ່ປັບປຸງສູຕັກ CRGW2 ດ້ວຍກຳລັງຂໍາຍ
(ກ) 5,000 ເທົ່າ ແລະ (ຫ) 10,000 ເທົ່າ

4. ສຽງຜົກການວິຈີ້

ດິນທີ່ສຶກຍາໃນພື້ນທີ່ນໍາທາວິທະຍາລັບສົງຄານຄຣິນທົງຈຳນັກໄດ້ເປັນດິນເຫັນຍົວພາສັດຕິກຳ ສາມາຮອປັບປຸງເສດືອກພາດຕ້ວຍວິທີທາງເຄີມໄດ້ຜລອຍ່າງເປັນທີ່ນໍາພອໃຈ ເຄົ້າແກລນສັ້ນຫຍດທີ່ໃໝ່ມີຄຸນລັກຍະເທີຍນໄດ້ກັບສາຮປອ້າໃຈລານເຕົ້າລອຍ ຂົນດີ F ກາຮເຕີມນໍາເພີ່ມຈາກປົມາມນໍາທີ່

เหมาะสม (ร้อยละ 24) ของดิน ม.อ. เป็นร้อยละ 50 55 และ 60 พบว่าปริมาณน้ำร้อยละ 55 และอ่ายุ่มที่เพิ่มขึ้นทำให้มีกำลังอัดแกนเดียวกับของดินเพิ่มขึ้นตามอัตราส่วนของแต่ละสูตรผสม มีค่ากำลังอัดเพิ่มขึ้นประมาณ 8 เท่า เมื่อเทียบกับก้อนตัวอย่างดิน และการคุณค่ามีน้ำของสูตร CRWG2 อายุบ่ำ 28 วัน มีค่าน้อยสุด ซึ่งวิธีนี้สามารถปรับปรุงใช้พื้นที่ทางในการทำงานเดินหรือลากของรถดินเพื่อรองแรงรถไฟโดยไม่ต้องใช้อิฐปูพื้นหรือพื้นคอนกรีตหรือลากยางมะตอยหรือลงหินเกล็ด ซึ่งช่วยลดผลกระทบจากการพื้นดังกล่าวได้แต่ความร้อนขึ้นมาและให้ความคงทนกัน

สภาพพื้นแบบธรรมชาติ อันถือว่าเป็นวิถีการปรับปรุงเสถียรภาพดินแบบสีเขียว (green soil stabilization)

5. กิตติกรรมประกาศ

ขอบอบคุณการไฟฟ้าฝ่ายผลิตแห่งประเทศไทย โรงไฟฟ้ากระเบน บริษัท เชฟสกินคอร์ปอเรชั่น จำกัด จังหวัดสงขลา และวิสาหกิจชุมชน บ้านกลาง จังหวัดพัทลุง ที่ให้การสนับสนุนวัสดุคิดดังกล่าวที่ใช้ในการวิจัยครั้งนี้

เอกสารอ้างอิง

- [1] Rahman, M.A. A comparative study of the potentials of rice husk ash on cohesive and cohesionless soils. *Building and Environment*, 1987; 22(4): 331-337.
- [2] Basha, E.A., Hashim, R., Mahmud, H.B. and Muntohar, A.S. Stabilization of residual soil with rice husk ash and cement. *Construction and Building Materials*, 2005; 19(6): 448–453.
- [3] อรุณ สุวรรณสูนทร คณูพล ตันน โยภาส และ พิพัฒน์ ทองจิม. (2552). ผลกระทบของการผสมตัวปรับสภาพเด็กแกลบ และเด็กไม้ย่างพาราเมื่อต่อดินเหนียวสูง lax สำหรับวัสดุคันทาง. การประชุมวิชาการทางวิศวกรรมศาสตร์ ครั้งที่ 7 มหาวิทยาลัยสงขลานครินทร์, 21-22 พฤษภาคม 2552 หน้า 21-26.
- [4] Kamei, T., Ahmed, A. and Shibi, T. The use of recycled bassanite and coal ash to enhance the strength of very soft clay in dry and wet environmental conditions. *Construction and Building Materials*, 2013; 38: 224-235.
- [5] Kolias, S., Kasselouri-Rigopoulou, V. and Karahalios, A. Stabilisation of clayey soils with high calcium fly ash and cement. *Cement & Concrete Composites*, 2005; 27(2): 301–313.
- [6] Misra, A., Biswas, D. and Upadhyaya, S. Physico-mechanical behavior of self-cementing class C fly ash-clay mixtures. *Fuel*, 2005; 84(11): 1410-1422.
- [7] Senol, A., Edil, T.B., Bin-Shafique, Md.S., Acosta, H.A. and Benson, C.H. Soft subgrades' stabilization by using various fly ashes. *Resources, Conservation and Recycling*, 2006; 46(4): 365-376.
- [8] ดิษฐพร เก้ามุนีโชค คณูพล ตันน โยภาส และพิพัฒน์ ทองจิม. (2551). พฤติกรรมทางกายภาพ – เชิงกลของส่วนผสมดินเหนียวปากพนังกับเด็กไม้ย่างป่าล้มน้ำมันและเด็กไม้ย่างพาราที่ขัดประสานด้วยตนเอง. การประชุมวิชาการวิศวกรรมโยธาแห่งชาติ ครั้งที่ 13, 14-16 พฤษภาคม 2551, รร.จอมทิียนป่าล้มบีช พัทฯ จ.ชลบุรี.
- [9] คณูพล ตันน โยภาส กฤษณะ หนูเมือง และ ธีรพัฒน์ นาวประดิษ. (2553). ผลกระทบของผุ่มน้ำมีดปูนเม็ดต่อดินลูกรังที่ปรับปรุง. การประชุมวิชาการด้านเหมืองแร่โลหะและปีโตรเลียม ครั้งที่ 9, 13-14 มกราคม 2554, รร.มณฑีร ริเวอร์ไซด์ กทม.
- [10] คณูพล ตันน โยภาส พงศ์นิจ ศรีสุข และ ธีรพัฒน์ นาวประดิษ. (2554). การพัฒนาอิฐดินประสานหางแร่ดินขาวผสมผุ่นเตาเผาปูนและยิปซัมเทียม. การประชุมวิชาการด้านเหมืองแร่โลหะและปีโตรเลียม ครั้งที่ 9, 13-14 มกราคม 2554, รร.มณฑีร ริเวอร์ไซด์ กทม.

- [11] Bourjan, P., Tonnayopas, D. and Tongchim, P. Novel soil stabilization method used flue gas desulphurization gypsum and oil palm ash in highway construction. *The 10th International Conference on Mining, Materials and Petroleum Engineering and The 6th International Conference on Earth Resources Technology : PSU-IC 2012*, May 9-11, 2012, Songkhla, Thailand.
- [12] Chimme, R., Tonnayopas, D. and Tongchim, P. Enhancing properties of clayey soil with compacted flue gas desulphurization sludge and Para rubber wood fuel ash. *The 4th KKU International Engineering Conference 2012 (KKU-IENC 2012)*, May 10-12, Khon Kaen University, Thailand, 2012.
- [13] ASTM D4318 -05 Standard Test Methods for Liquid Limit, Plastic Limit, and Plasticity Index of Soils
- [14] ASTM D2166 - 06 Standard Test Method for Unconfined Compressive Strength of Cohesive Soil
- [15] ມາດຮູ້ານ ຖ.ມ. 204/2533 ມາດຮູ້ານພື້ນທາງດິນຈີເມນຕໍ (Soil Cement Base). ກຣມທາງໜຄວງ